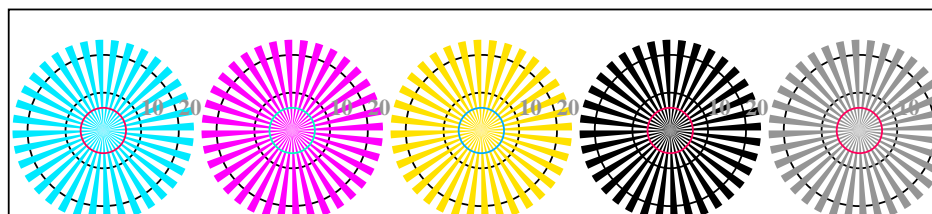


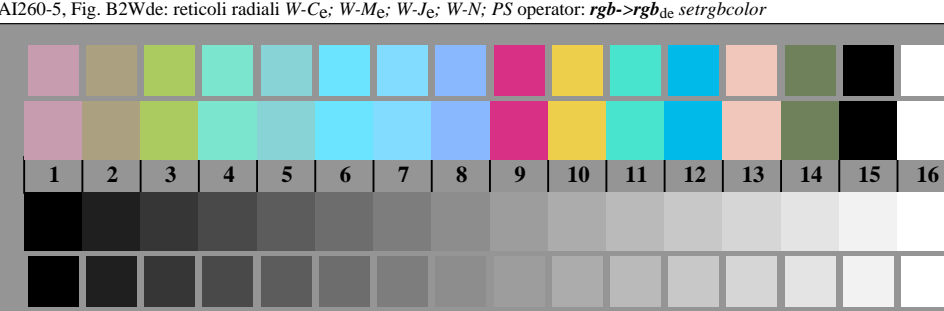
iscrizione TUB: 20190301-AI26/AI26L0FA.TXT/.PS
 Application per la misura dell'output di display et output di stampa

TUB materiale: code=rha4ta

vedi file simili: <http://farbe.li.tu-berlin.de/AI26/AI26.HTM>
 informazioni tecniche: <http://farbe.li.tu-berlin.de/o http://farbe.li.tu-berlin.de/AE.HTM>

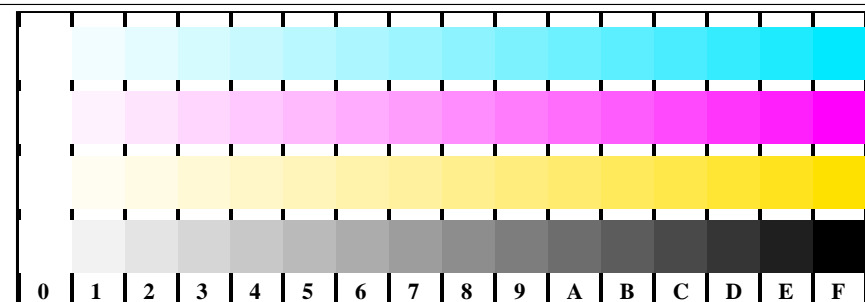


AI260-5, Fig. B2Wde: reticolli radiali $W-C_e$; $W-M_e$; $W-J_e$; $W-N$; PS operator: $rgb \rightarrow rgb_{de} setrgbcolor$



AI260-7, Fig. B3Wde: 14 prova colori CIE i 2 + 16 grigio passi (sf); $rgb/cmy0 \rightarrow rgb_{de} setrgbcolor$

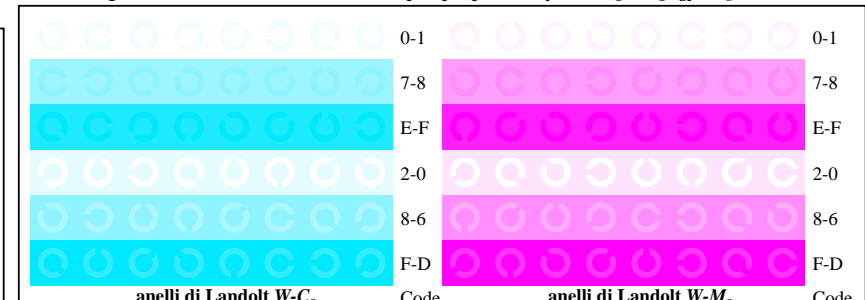
Grafico AI26 conformemente a grafico 2 a ISO/IEC 15775
 Tavola dei colori cromatici CMYK



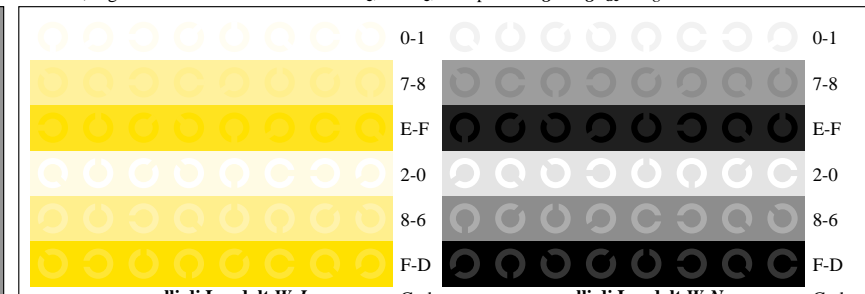
AI261-1, Fig. B4Wde: 16 equidistante passi $W-C_e$; $W-M_e$; $W-J_e$; $W-N$; $rgb/cmy0 \rightarrow rgb_{de} setrgbcolor$

| | | | | | |
|------|---|------|------|------|------|
| ++.. | C | lmno | pqrs | tuvw | v |
| xyz; | O | hijk | O | O | O |
| tuvw | O | defg | O | O | O |
| pqrs | O | !abc | O | O | O |
| lmno | O | ++.. | C | O | O |
| hijk | O | xyz; | O | O | O |
| defg | O | tuvw | O | O | O |
| !abc | O | pqrs | O | O | O |
| 10 | N | lmno | hijk | defg | !abc |
| | N | O | O | O | O |
| | N | C_e | M_e | Y_e | Z |

AI261-3, Fig. B5Wde: codice i Landolt anelli N; C_e ; M_e ; Y_e ; Z; PS operator: $rgb \rightarrow rgb_{de} setrgbcolor$



AI261-5, Fig. B6Wde: anelli di Landolt $W-C_e$; $W-M_e$; PS operator: $rgb \rightarrow rgb_{de} setrgbcolor$



AI261-7, Fig. B7Wde: anelli di Landolt $W-J_e$; $W-N$; PS operator: $rgb \rightarrow rgb_{de} setrgbcolor$

Input: $rgb/cmy0/000n/w set...$
 Output: $\rightarrow rgb_{de} setrgbcolor$